

# BULETINUL

ACADEMIEI DE ȘTIINȚE A REPUBLICII MOLDOVA

FIZICA ȘI TEHNICA

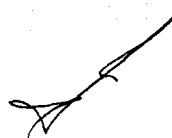
# ИЗВЕСТИЯ

АКАДЕМИИ НАУК РЕСПУБЛИКИ МОЛДОВА

ФИЗИКА И ТЕХНИКА

REVISTĂ TEORETICO-ȘTIINȚIFICĂ  
FONDATĂ ÎN OCTOMBRIE 1989  
APARE DE TREI ORI PE AN

НАУЧНО-ТЕОРЕТИЧЕСКИЙ ЖУРНАЛ  
ОСНОВАН В ОКТЯБРЕ 1989 ГОДА  
ВЫХОДИТ ТРИ РАЗА В ГОД



1  
—  
1994

Chișinău  
„Știința”  
Кишинев

## СОДЕРЖАНИЕ

Физика

- Радауцан С. И., Терлецкий А. И., Тигиняну И. М., Урсаки В. В. Влияние инфракрасной подсветки на спектры фотопроводимости кристаллов GaAs, облученных  $\alpha$ -частицами

Куликова О. В., Кюлюк Л. Л., Молдовян Н. А., Попов С. М., Симинел А. В. Оптическое поглощение в монокристаллах  $\alpha\text{-ZnAl}_2\text{S}_4$

Мунтян С. П., Петренко П. А., Подлеснов А. Г. Влияние оксидов индия и свинца на сверхпроводящие свойства висмутовой керамики

Дворкин А. А., Морару М., Симонов Ю. А., Деляну К., Малиновский Т. И. Кристаллическая и молекулярная структура 7-метил-2-(N-морфолин)-4-фенилбицикло [3.3.1] попап-9-она

Мунтян С. П., Петренко П. А., Сенатский Д. И. Особенности получения ВТСП-керамики в системе Ba—Yb—Cu—O

Мунтян С. П., Кюссе Г. А., Володина Г. Ф. Совместное влияние добавок оксидов свинца и кальция на образование фазы  $\text{Bi}_2\text{Sr}_2\text{Ca}_2\text{Cu}_3\text{O}_{10}$  в системе Bi—Sr—Ca—Cu—O

Соболев В. В. Некоторые вопросы экситонного поглощения света

Иванов М. Б., Иващенко А. И., Марончук И. Ю., Попушой В. В. Состояние и тенденции развития газоаналитической техники на основе полупроводниковых сенсоров

Берил С. И., Покатилов Е. П., Гаю Н. И., Мадкур С. Циклотрой-фононный резонанс в структурах с квантовыми ямами

Белоусов А. В., Коварский В. А. Невозмущающие методы в проблеме многофотонного возбуждения атома при помощи сжатого света

Коварский В. А. Влияние окружающих флуктуаций на низкотемпературный электронный перенос в биологических системах

Вакару С. И., Остаф С. В. Почти геодезическое тензорное интегрирование на бипространствах: формулировка законов сохранения для калибровочной гравитации

Вакару С. И., Остаф С. В. Твисторная квантовая космология

Боярская Ю. С., Грабко Д. З., Лавровская Н. А. Некоторые особенности подвижности дислокаций в ионных кристаллах

Техника

- Семенчук А. В., Поповский М. В. Метод расчета переходных процессов выпрямителя

Науки о земле

- Остюк В. А.* Особенности экзогеодинамики территории Молдовы в плиоцен-четвертичное время в связи с изменением природных условий

Pechonat M



11

3	Radautsan S.
5	light il-
7	ticle ir-
10	Kulikova O.
16	Optical
20	Muntyan S.
24	Pb oxi-
(3)	Dvorkin A.
47	crystal
57	nyl-bic
61	Muntyan S.
64	obtaini
72	Muntyan S.
73	oxides
	system
	Sobolev V.
	Ivanov M.
	and i
	micor
	Beril S. I
	in th
	Belousov
	multi
	Kovarsky
	ture
	Vacaru S.
	form
	Vacaru S.
	Boyarska
	dise

Semench  
in

Osiyuk  
ee1

Abst.

## ФИЗИКА

БІБЛІОГРАФІЯ  
УДОСТОВІРЧА СЕЦНАЛА  
ДЛЯ ВІДДІЛУ МОЛОДІ

С. И. РАДАУЦАН, А. И. ТЕРЛЕЦКИЙ,  
И. М. ТИГИНЯНУ, В. В. УРСАКИ

### ВЛИЯНИЕ ИНФРАКРАСНОЙ ПОДСВЕТКИ НА СПЕКТРЫ ФОТОПРОВОДИМОСТИ КРИСТАЛЛОВ GaAs, ОБЛУЧЕННЫХ $\alpha$ -ЧАСТИЦАМИ

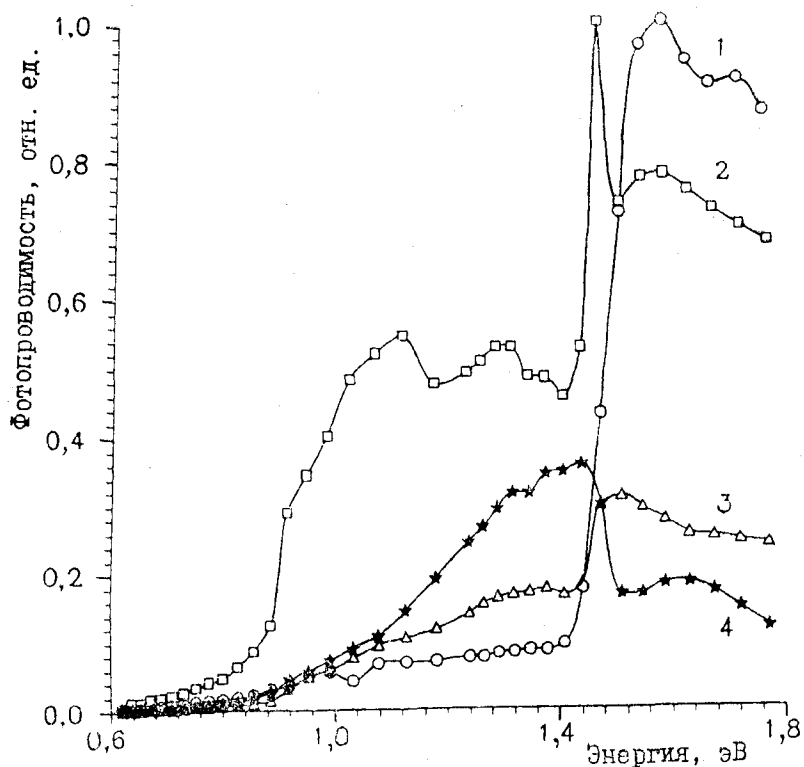
Глубокий донор EL2 (с энергией термической активации 0,82 эВ) является преобладающим глубоким центром в монокристаллах GaAs, как выращенных из расплава, так и полученных газофазными методами. Уровень EL2 играет важную роль в процессах компенсации проводимости в нелегированных образцах полуизолирующего (ПИ) GaAs, применяемого в электронных приборах. Поэтому выяснение природы и характеристик этого центра имеет большое практическое значение. Кроме того, центр EL2 представляет большой интерес с фундаментальной точки зрения, поскольку он может быть как в нормальном, так и в метастабильном состоянии [1]; с ним связаны эффекты гашения фоточувствительности [2], активационного захвата электронов [3], люминесцентные и другие свойства [4]. Несмотря на многочисленные исследования влияния EL2 на свойства GaAs, однозначных ответов относительно его природы не дано. Многие исследователи полагают, что EL2 связан с комплексом собственных дефектов с участием антиструктурного дефекта As<sub>ga</sub> [5--7].

Для дальнейшей идентификации свойств уровня EL2 в данной работе исследуются спектры фотопроводимости (ФП) исходных и облученных  $\alpha$ -частицами образцов *n*-GaAs, выращенного методом Чохральского с жидкостной герметизацией расплава. Альфа-частицы с энергией 5 МэВ, используемые для облучения, были получены от радионуклидного источника <sup>238</sup>Ru. Измерения проводились при температуре 77 К в спектральном диапазоне 0,6...1,6 эВ. В качестве спектрального прибора использовался монохроматор SPM-2 (Zeiss, Герм.). Интенсивность падающего света поддерживалась на достаточно низком уровне, чтобы предотвратить перевод EL2 в метастабильное состояние. Падающий луч света модулировался прерывателем с частотой  $\approx$  250 Гц; сигнал регистрировался синхронным детектором. Кроме того, исследовалось влияние постоянной подсветки с длинами волн  $\lambda_1=1,15$  мкм и  $\lambda_2=3,39$  мкм от Не—Не лазера с мощностью 15 мВт на спектры ФП образцов.

На рисунке представлены спектры ФП исходного (кривая 1) и облученного  $\alpha$ -частицами с дозой  $2,7 \cdot 10^{12}$  см<sup>-2</sup> (кривая 2) образцов *n*-GaAs, измеренные при отсутствии подсветки, а также спектр облученного кристалла при наличии постоянной подсветки Не—Не лазера с длиной волны 1,15 и 3,39 мкм (кривые 3 и 4). Из рисунка видно, что облучение  $\alpha$ -частицами приводит к увеличению интенсивности полосы с краевой границей  $\approx 0,8$  эВ, что ранее было объяснено наличием основного состояния EL2 [1]. Таким образом, облучение GaAs  $\alpha$ -частицами приводит к увеличению концентрации ловушки EL2, чем подтверждается ее связь с собственными дефектами решетки. Как видно из рисунка, подсветка с длиной волны 1,15 мкм ( $\hbar\omega =$

© Радаусан С. И., Терлецкий А. И., Тигинян И. М., Урсаки В. В., 1994.





Влияние инфракрасной подсветки на спектры фотопроводимости  $n$ -GaAs, облученного  $\alpha$ -частицами с энергией 5 МэВ

$=1.08$  эВ) уменьшает интенсивность полосы ФП, связанной с основным состоянием EL2. Этот факт обусловлен переводом EL2 из основного состояния в метастабильное (см. конфигурационную диаграмму EL2 в работе [1]). Отметим, что в работе [6] обнаружена полоса поглощения в интервале 1,0...1,3 эВ, также связанная с электронным переходом, переводящим центр EL2 из основного состояния в метастабильное.

Что касается подсветки с длиной волны 3,39 мкм, то она приводит к появлению полосы ФП с максимумом  $\approx 1,4$  эВ, которая маскирует не только полосу, связанную с EL2, но и краевую полосу ФП. Особенности такого влияния ИК-подсветки на спектры ФП GaAs могут быть обусловлены перезарядкой центров рекомбинации с энергией  $\approx 0,4$  эВ. Поскольку в исходных кристаллах GaAs этот эффект не наблюдался, можно предположить, что данные центры рекомбинации связаны с радиационными дефектами решетки, появившимися в результате  $\alpha$ -облучения.

Таким образом, ИК-подсветка может быть использована как для гашения, так и для стимуляции ФП радиационно обработанного GaAs. Несомненно, это явление должно быть принято во внимание при разработке новых оптоэлектронных устройств на базе данного материала.

#### ЛИТЕРАТУРА

- Vincent G., Bois D. // *Contre Jour Appl. Phys.* 1982. 53. P. 3643.
- Mitopean A., Mircea A. / *Solid St. Commun.* 1979. 30. P. 157.
- Henry C., Lanoë J. V. // *Phys. Rev.* 1977. B15 P. 989.
- Won Ju P. // *Appl. Phys. Lett.* 1984. 44. P. 330.
- Bourgois J., Lanoë J. V. // *Rev. Phys. Appl.* 1988. 23. P. 863.

- Georgobian
- Tiginiyanu
- vyp. 10. C.
- Skowronski

S-a stabilit intensitatea de la  $\lambda_1 = 1,15$  minarea suplimentară maximum la 1

The irradiation increases the intensity of the 0.8 eV. This increase was made with  $\lambda_1 = 1.15$   $\mu\text{m}$  pro

O. I.

#### ОПТИЧЕСКИЙ

В работе в кубе методом химического осаждения в качестве транзисторов нормальной работы были выбраны собой беспрепятственно на запрещенном границе фотонов.

Для измерения плоскостных ходовых модулей и потока SPM-2 градиентов 3,2—4,0

Источники излучения, питаемые дуализированы частоты и фазы Upiran 233 самописце E

На рисунке показано поглощения следующей

где  $I_1$  и  $I_2$  — толщинами,

© Кулакова С.

6. Георгобиани А. Н., Тигиняну И. М. // ФТП. 1988. 22, вып. 1. С. 3—15.
7. Тигиняну И. М., Пышная Н. Б., Спицын А. В., Урсаки В. В. // ФТП. 1988. 22, вып. 10. С. 1814—1817.
8. Skowronski M., Lugowski J., Gatos H. C. // J. Appl. Phys. 1986. 59. Р. 2451.

#### Rezumat

S-a stabilit că tratarea monocristalelor  $n$ -GaAs cu particule  $\alpha$  duce la creșterea intensității benzii de fotoconductibilitate (PC) cu limita roșie de 0,8 eV. Această bandă este legată de trapa EL2. S-a relevat că iluminarea suplimentară cu lungimea de undă  $\lambda_1=1,15 \mu\text{m}$  micșorează intensitatea benzii PC legate de EL2. Concomitent iluminarea suplimentară cu lungimea de undă  $\lambda_2=3,39 \mu\text{m}$  stimulează banda FC cu maximum la 1,4 eV.

#### Summary

The irradiation of  $n$ -GaAs single crystals by  $\alpha$ -particles has been established to increase the intensity of photoconductivity (PC) band with the low-energy cut-off at 0.8 eV. This band is attributed to the ground state of the EL2 electron trap. Its intensity was found to diminish when the sample was illuminated by secondary light with  $\lambda_1=1.15 \mu\text{m}$ . At the same time the illumination of crystals by light with  $\lambda_2=3.39 \mu\text{m}$  proved to stimulate the PC band at 1.4 eV.

Поступила 11.07.93

О. В. КУЛИКОВА, Л. Л. КУЛЮК, Н. А. МОЛДОВЯН,  
С. М. ПОПОВ, А. В. СИМИНЕЛ

#### ОПТИЧЕСКОЕ ПОГЛОЩЕНИЕ В МОНОКРИСТАЛЛАХ $\alpha$ -ZnAl<sub>2</sub>S<sub>4</sub>

В работе приводятся результаты исследований спектров поглощения в кубических кристаллах  $\alpha$ -ZnAl<sub>2</sub>S<sub>4</sub>. Кристаллы выращивались методом химических транспортных реакций с использованием йода в качестве транспортера. Полученные монокристаллы имели структуру нормальной шинели (пространственная группа  $O_h^7$ ) и представляли собой бесцветные октаэдры объемом до 40 мм<sup>3</sup>. Согласно [1] ширина запрещенной зоны этого соединения, оцененная по длинноволновой границе фотопроводимости, составляет 4,4 эВ (300 К).

Для измерения спектров поглощения образцы приготавливались в виде плоско-параллельных пластин с толщинами 0,07—2,25 мм, из исходных монокристаллов путем последовательной механическойшлифовки и полировки. Измерения проводились при помощи монохроматора SPM-2 с призмой при температурах 300 и 80 К в диапазоне энергий 3,2—4,0 эВ.

Источником падающего света служила галогенная лампа накаливания, питаемая стабилизированным током. Прошедшее излучение модулировалось по амплитуде модулятором с кварцевой стабилизацией частоты и регистрировалось ФЭУ-106 и селективным нановольтметром Unipan 233. Полученные спектры записывались на двухкоординатном самописце Endim 620.

На рисунке приведены спектральные зависимости коэффициента поглощения  $\alpha$  от энергии фотонов  $h\nu$  при 300 и 80 К, рассчитанные по следующей формуле:

$$\alpha = \ln \left( \frac{I_1}{I_2} \right) / \Delta d, \quad (1)$$

где  $I_1$  и  $I_2$  — интенсивности прошедшего света для образцов 1 и 2 с толщинами  $d_1$  и  $d_2$ , соответствующими величину  $\Delta d$ .

© Кулкова О. В., Кульюк Л. Л., Молдовян Н. А., Попов С. М., Симинел А. В., 1994.

